

С 341.1 Г
Ц-147

28/VI

ОБЪЕДИНЕННЫЙ
ИНСТИТУТ
ЯДЕРНЫХ
ИССЛЕДОВАНИЙ

Дубна

P-2739



Р. Цалетка, Я. Врзал

ИЗМЕРЕНИЕ СМЕСИ ^{95}Zr И ^{95}Nb
С ПОМОЩЬЮ $\text{Ge}(\text{Li})$ -ДЕТЕКТОРОВ

Лаборатория ядерных реакций

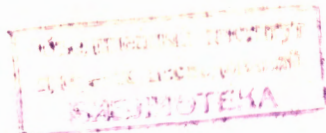
1966

P-2730

1988/1
нр.

Р. Цалетка, Я. Врзал

ИЗМЕРЕНИЕ СМЕСИ ^{95}Zr И ^{95}Nb
С ПОМОЩЬЮ Ge(Li)-ДЕТЕКТОРОВ



Изотоп Zr^{95} распадается с периодом полураспада 85 дней на два изомера Nb^{95m} , причем в 2% случаев образуется метастабильный изотоп Nb^{95m} ($T_{1/2} = 3,75$ дней), который дальше распадается на Nb^{95} ($T_{1/2} = 35$ дней). 98% Zr^{95} переходит непосредственно в Nb^{95} . Несмотря на относительно длинный период полураспада Zr^{95} , спустя уже несколько дней после его очистки нельзя пренебречь наличием дочерней активности в препаратах циркония. В связи с тем, что изотоп Zr^{95} является наиболее распространенным индикатором в радиохимических исследованиях по химии циркония, к настоящему времени существует большое количество работ, посвященных проблеме быстрой и удобной очистки Zr^{95} от дочерней активности.

Наряду с химическими методами очистки Zr^{95} от Nb^{95} существуют и радиометрические способы определения этих двух изотопов в смеси без их предварительного разделения. В литературе описанные способы основаны на разности в периодах полураспада материнского и дочернего изотопов и на разности в энергиях β -распадов.

На практике эти способы, однако, не получили широкого распространения ввиду их сложности, малой точности и необходимости большой затраты времени.

Гамма-спектрометры с $NaJ(Tl)$ кристаллом для анализа смеси Zr^{95} и Nb^{95} не применялись ввиду того, что их разрешающая способность колеблется от 6 до 8%. Эта величина на много превышает разницу приводимых в литературе энергий γ -переходов Zr^{95} (0,728 и 0,780 МэВ) и Nb^{95} (0,770 МэВ)^{1/1}, в результате чего образуется один суммарный фотопик их смеси. В литературе описан только один способ анализа состава смеси Zr^{95} и Nb^{95} с использованием γ -спектрометра, состоящего из $NaJ(Tl)$ кристалла и 512-канального анализатора^{1/2}, но и он не позволяет проводить анализ с удовлетворительной точностью. Ошибка определения зависит от относительного содержания Nb^{95} в смеси и составляет больше 50%, если содержание Nb^{95} меньше 20%.

Однако с появлением полупроводниковых детекторов для регистрации γ -излучения возникла возможность определения ^{95}Zr в присутствии ^{95}Nb с высокой точностью, так как разрешающая способность Ge(Li)-детекторов в области 1 Мэв достигает 4 кэв и меньше^{/3/}. Применение таких детекторов при химических исследованиях по химии циркония и ниобия представляется весьма интересным, так как позволяет не только обходиться без предварительной очистки ^{95}Zr от дочернего изотопа ^{95}Nb , но одновременно позволяет следить за поведением двух разных элементов.

В течение 1985 года нами был разработан метод определения ^{95}Zr и ^{95}Nb при их совместном присутствии с использованием Ge(Li)-детектора и многоканального амплитудного анализатора и также уточнены некоторые физические константы этих двух изотопов.

Экспериментальная часть

1) Аппаратура и источники

В наших измерениях использовался γ -спектрометр с полупроводниковым Ge(Li) детектором и 2048-канальным амплитудным анализатором. Детектор был изготовлен в Институте ядерных исследований, Ржев (ЧССР) и его чувствительный объем был $1,8\text{ см}^2 \times 0,8$ см. Эффективность детектора в области 750 кэв составляла 0,15% и разрешающая способность при энергии 1832 кэв (Ce^{60}) - 4 кэв.

В качестве источников служили промышленные препараты ^{95}Zr и ^{95}Nb в щавелево-кислом растворе. Перед их применением проводилась радиохимическая очистка. Цирконий (после добавления носителя) очищался двукратным осаждением в виде BaZrF_6 и миндалята циркония; для очистки ниobia использовалась экстракция хлороформенным раствором N-бензоилфенилгидроксиламина и после рэкстракции осаждение ниобиевой кислоты из концентрированной HNO_3 при нагревании. Как показали дальнейшие измерения, радиохимическая чистота препаратов была удовлетворительной.

2) Расчет относительного содержания ^{95}Zr и ^{95}Nb в смеси

На рис. 1 представлены спектры чистых препаратов ^{95}Zr и ^{95}Nb . В общем случае можно предположить, что γ -спектр их смеси состоит из трех пиков N_1 , N_2 и N_3 (см. рис. 2). Тогда площади под отдельными фотопиками можно обозначить через N_{11} , N_{22} , N_{33} и площади спектра, входящие в область других фотопиков, — через N_{12} , N_{13} , N_{23} и N_{22} . Далее имеем отношения:

$$\frac{N_{12}}{N_{22}} = k_{12} \quad \frac{N_{13}}{N_{33}} = k_{13} \quad (1)$$

$$\frac{N_{28}}{N_{88}} = k_{28} \quad \frac{N_{82}}{N_{22}} = k_{82} . \quad (1)$$

Величины k_{28} нетрудно определить экспериментально, и они для данной аппаратуры являются приборными постоянными. Площади пиков N_1 , N_2 и N_8 можно записать в виде:

$$\begin{aligned} N_1 &= N_{11} + N_{12} + N_{18} \\ N_2 &= N_{22} + N_{28} \\ N_8 &= N_{88} + N_{82} . \end{aligned} \quad (2)$$

Подстановкой отношений (1) в уравнение (2) и их решением по N_{11} , N_{22} и N_{88} получим уравнения:

$$\begin{aligned} N_{11} &= \frac{N_1(1 - k_{28}k_{82}) - N_2(k_{12} - k_{18}k_{82}) - N_8(k_{18} - k_{12}k_{28})}{1 - k_{28}k_{82}} \\ N_{22} &= \frac{N_2 - N_8k_{28}}{1 - k_{28}k_{82}} \\ N_{88} &= \frac{N_8 - N_2k_{82}}{1 - k_{28}k_{82}} . \end{aligned} \quad (3)$$

В дальнейшем фотопики N_{11} и N_{22} отождествлены с γ -переходами 724 и 756 кэВ ^{98}Zr соответственно и фотопик N_{88} — с γ -переходом 765 кэВ ^{95}Nb ^{x)}.

Отношение интенсивностей γ -линий ^{95}Zr равно:

$$K = \frac{N_{11} \eta_{28}}{N_{22} \eta_{18}} , \quad (4)$$

где η_{18} , η_{28} — эффективности прибора при соответствующих энергиях в отношении к энергии 765 кэВ ^{95}Nb .

Отношение ^{98}Zr и ^{95}Nb в смеси можно рассчитать из соотношения (5)

$$P = \frac{N_{11} \eta_{28} + N_{22} \eta_{18}}{N_{88} \eta_{18} \eta_{28}} . \quad (5)$$

Подставляя (3) и (4) в (5), получаем для P выражение

$$P = \frac{(N_2 - k_{28}N_8)(K + 1)}{\eta_{28}(N_8 - k_{28}N_2)} \quad (6)$$

^{x)} Здесь и дальше приведены нами найденные значения энергий γ -переходов (см. табл. 1, рис. 1).

и относительная погрешность P равна

$$\delta P = \frac{\sqrt{N_2} + \sqrt{k_{28} N_8}}{N_8 - k_{28} N_2} + \frac{\sqrt{N_8} + \sqrt{k_{28} N_2}}{N_8 - k_{28} N_2} + \delta \eta_{28} + \frac{K}{K+1} \delta K.$$

При расчетах относительного содержания ^{95}Zr и ^{95}Nb необходимо учитывать, что на долю γ -переходов ^{95}Zr с энергиями 724 и 756 кэв приходится только 98% общей активности, в результате чего P в уравнениях (5) и (6) необходимо умножить на коэффициент 1/0,98.

Ввиду небольшой разницы между энергиями отдельных γ -переходов ^{95}Zr и ^{95}Nb можно без особых погрешностей принять, что форма соответствующих фотопиков одинакова. Тогда величины k_{ij} нетрудно определить из спектра чистого ^{95}Nb . Для удобства ширина пиков N_1 была выбрана так, чтобы она соответствовала двукратному значению их полуширины.

Результаты и обсуждения

1) Энергия γ -переходов ^{95}Zr и ^{95}Nb . На рис. 2 показаны спектры чистых препаратов ^{95}Zr (а) и ^{95}Nb (б). Нами проводились измерения энергии отдельных γ -линий ^{95}Zr и ^{95}Nb , причем в качестве калибровочных источников использовались препараты ^{187}Cs и ^{60}Co . Полученные результаты приведены в таблице 1.

2) Измерение относительных интенсивностей γ -переходов

Нами было замечено, что приводимые в литературе данные относительно интенсивностей γ -переходов 724 и 756 кэв в спектре ^{95}Zr (см. таблицу 1) не соответствуют нашим наблюдениям. С целью проверки данного вопроса проводилось измерение препарата чистого ^{95}Zr . Соответствующие расчеты проводились по уравнению (4).

Для вышеописанного прибора нами были получены следующие значения k_{ij}

$$k_{12} = 0,0364$$

$$k_{82} = 0,00428$$

$$k_{18} = 0,0364$$

$$k_{28} = 0,0502.$$

Относительные эффективности:

$$\eta_{18} = \frac{\eta_1}{\eta_8} = 1,059 \quad \eta_{28} = \frac{\eta_2}{\eta_8} = 1,024$$

$$\eta_{12} = \frac{\eta_1}{\eta_2} = 1,085.$$

Относительная ошибка $\delta\eta$ составляла 1,5%.

Подставляя соответствующие экспериментальные данные в уравнение (4) для K , мы получили значение $K = 0,814$ с относительной погрешностью $\delta K = 3\%$. Процентное содержание отдельных линий 724 и 756 кэв в спектре ^{95}Zr приведено в таблице I.

Авторы выражают благодарность Я. Урбанцу, Я. Липтаку и И. Ржезанке за оказанную помощь при выполнении данной работы.

Т а б л и ц а 1

Изотоп	Литературные данные			Наши данные		
	/1/	/4/				
	Энергия (кэв)	Интенсивн. %	Энергия (кэв)	Интенс. %	Энергия кэв	Интенсивн. %
^{95}Zr	726 \pm 2	55 \pm 5	722,0 \pm 1,4	43	724 \pm 1	44 \pm 2
	780 \pm 3	48 \pm 5	754,4 \pm 1,4	54	758 \pm 1	54 \pm 2
^{95m}Nb	236	2 ^{x)}	235	2		2 ^{xx)}
^{95}Nb	770 \pm 2	100	764,0 \pm 1,4		765 \pm 1	-

^{x)} В -2% распадов ^{95}Zr образуется метастабильный изомер ^{95m}Nb .

^{xx)} Величина не определялась экспериментально.

Выводы

- Доказана возможность использования Ge(Li) детекторов для совместного количественного определения ^{95}Zr и ^{95}Nb и предложены соответствующие формулы для расчета их отношения и относительной ошибки.
- Уточнены энергии γ -переходов ^{95}Zr и ^{95}Nb .
- Определено отношение интенсивностей γ -переходов 724 и 756 в спектре ^{95}Zr .

Л и т е р а т у р а

1. Г.М. Дрябкин, В.П. Орлов, Л.И. Русаков. Изв. АН СССР, сер. физ. 19, № 3, 354 (1965).
2. C.J. Hardy, C.E. Lyon; AERE-R 4814 (1955).
3. G.T. Ewan, A.J. Tavendale; AECL-2079 (1964).
4. P.S. Mittelman; Phys. Rev. 94, 99 (1954).

Рукопись поступила в издательский отдел
11 мая 1966 г.

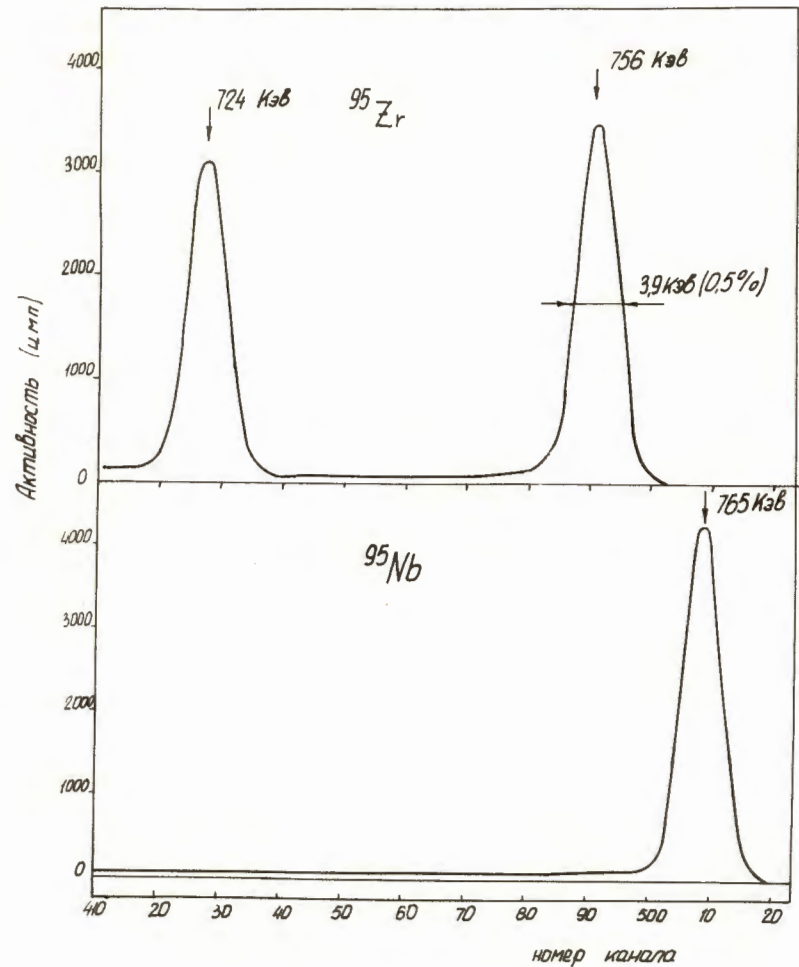
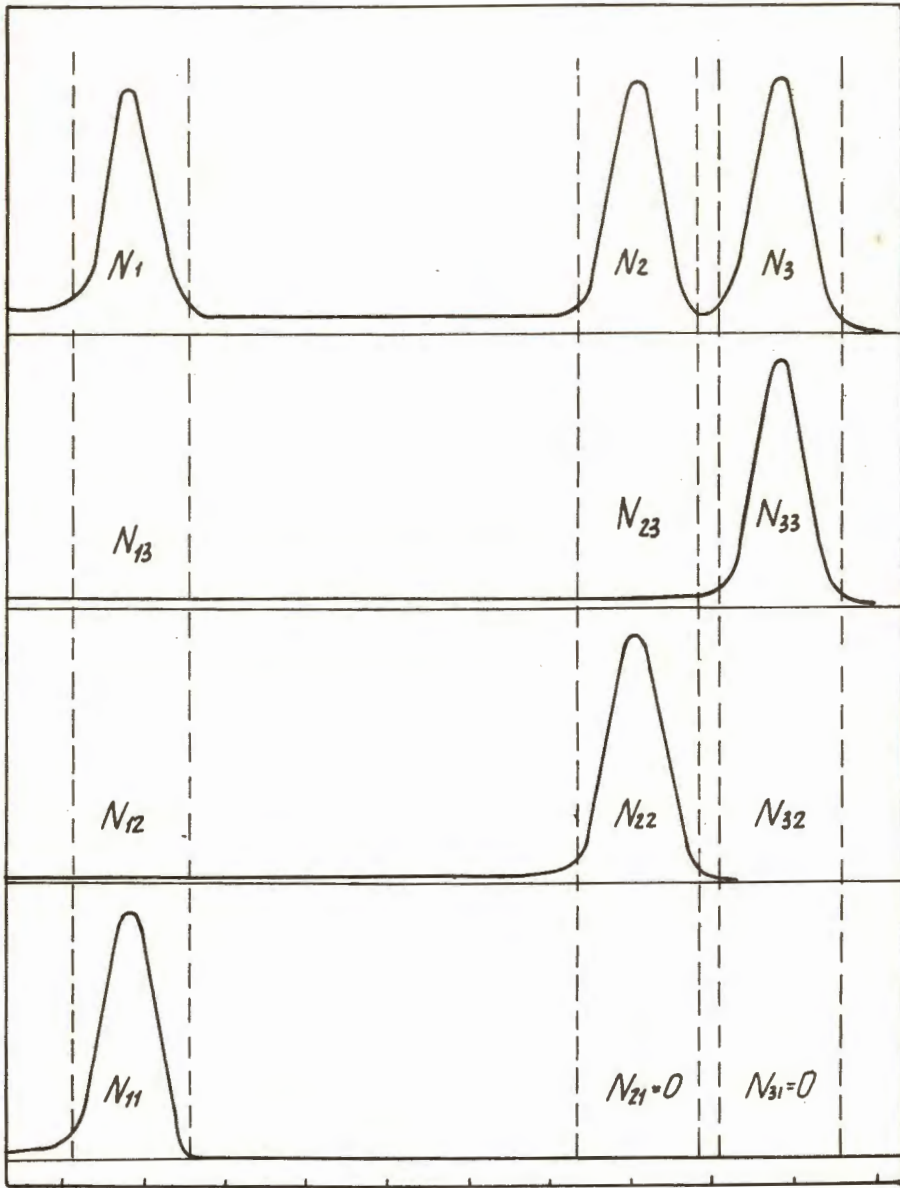


Рис. 1. γ -спектры чистых препаратов ^{95}Zr и ^{95}Nb .

Активность (имп)



номер канала

Рис. 2. Условные γ -спектры ^{98}Zr , ^{95}Nb и их смеси для расчета относительного содержания ^{98}Zr и ^{95}Nb в смеси (обозначения см. в тексте).